骨材界面におけるセメント粒子分布の点過程シミュレーション

金沢大学大学院 学生会員 〇吉川 峻生 金沢大学大学院 学生会員 内藤 大輔 金沢大学理工学域 正会員 五十嵐 心一

1. 序論

コンクリートやモルタル中の骨材界面近傍には,一般的には骨材の壁効果によって遷移帯が存在すると考えられている.一方,Diamond¹⁾は,コンクリート中のセメントペースト相を骨材表面から 10μm 間隔の帯状領域に区切り各領域における空隙率を求め,従来の概念的に説明されるような遷移帯は存在しないと主張している.遷移帯は未水和セメント粒子の初期の充填不足に起因した領域である.このような,空間内での対象物の分布を評価する手段として点過程による取り扱いが挙げられ,これを用いれば界面領域の充填状況を定量的に評価できると考えられる.

本研究においては、空間点過程としてのコンクリート中のセメント粒子の分散の特徴を、完全ポアソン過程の分布と比較し、骨材の壁効果の影響を論ずることを目的とする.

2. 実験概要

2. 1 供試体および反射電子像観察試料の作製

セメントには普通ポルトランドセメント(密度:3.15g/cm³, 比表面積:3310cm²/g)を使用し, 骨材には川砂(密度:2.60g/cm³)と川砂利(密度:2.60g/cm³, G_{MAX}=25mm)を用いた. JIS R 5201に基づき, 水セメント比 0.50 のコンクリートの円柱供試体(直径100mm, 高さ200mm)を作製した. 配合を表 - 1に示す. 供試体から材齢24時間にて薄片試料を切り出し, 凍結真空乾燥装置を用いて水分を除去し, 樹脂含浸を行った後,表面を注意深く研磨した. その後,蒸着処理を施し, 反射電子像観察試料を得た.

2. 2 反射電子像取得および画像解析

観察倍率 200 倍にてコンクリートの反射電子像を取得した(図 - 1(a)). 1 画像は 1148×1000 画素からなり、1 画素は約 $0.55 \mu m$ に相当する. これを無作為に 30 枚取得し,グレースケールに基づく 2 値化処理を施し,セメント粒子および骨材の 2 値画像を得た. このとき,画像

表 - 1 コンクリートの配合

 W/C
 s/a (%)
 W
 C
 G
 S
 AE滅水剤
 AE助剤 (cc/m³)
 Air (slump)

 0.5
 41.9
 175
 350
 1011
 729
 3500
 1400
 4.5±1.5
 15±2

解析ソフトウェアによりセメント粒子の点密度 λ および重心点座標を算出し、それぞれの位置ベクトル x_i を点過程 $X_r = \{x_i; i = 1, \cdots, n\}$ とした(図 - 1(b)).

2. 3 セメント粒子の分散性評価

コンクリートのセメント粒子の分散性を評価するため、点過程 X_r に対して、式(1)より L 関数を求めた.

$$\widehat{L}(r) = \sqrt{\frac{1}{\pi \widehat{\lambda}^2} \sum_{i \neq j} \frac{1(|x_i - x_j| \le r)}{s(x)}}$$
 (1)

ここに、 $1(\cdot)$ は()内が真であれば 1、偽であれば 0 を与える指示関数であり、s(x)はエッジ補正係数である.

2. 4 シミュレーションによる分散性評価

抽出したコンクリート中の骨材画像を用いて、骨材 の補集合空間であるセメントペースト領域に対し、シ ミュレーションにより実際のコンクリート中の未水和 セメント粒子とペーストマトリックスにおける点密度 が等しくなるよう点をランダムに発生させた。発生さ

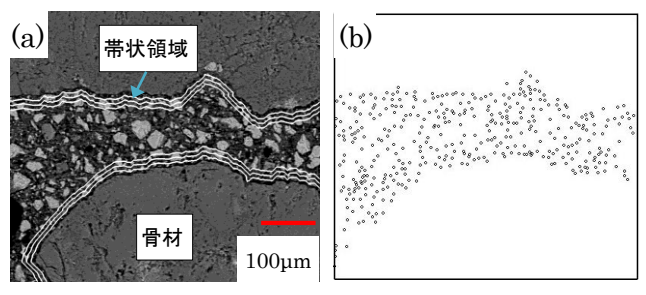
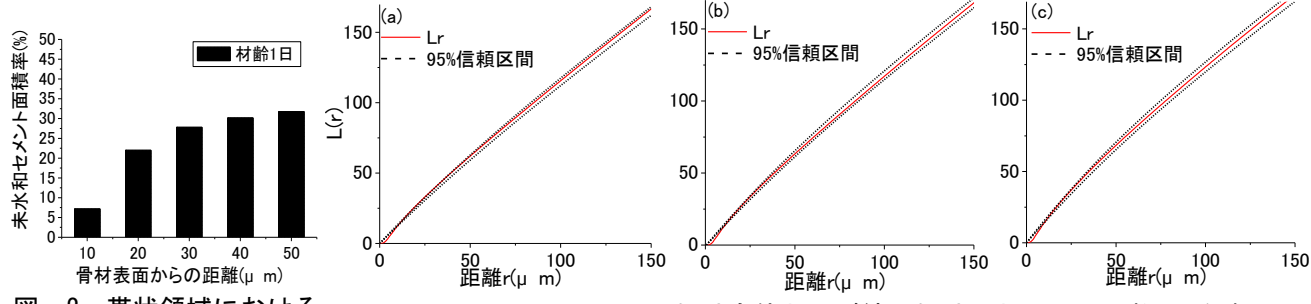


図 - 1 反射電子像における画像解析例 (a) 反射電子像 (b) 未水和セメントの点過程

表 - 2 帯状領域における未水和セメント粒子の点密度

骨材表面からの距離 (μ m)	10	20	30	40	50
		0.0052		0.0042	0.0040
変動係数(%)	17.6	10.8	11.7	14.2	15.1

キーワード 遷移帯,壁効果,未水和セメント,点過程シミュレーション,画像解析 連絡先 〒920-1192 石川県金沢市角間町 金沢大学大学院自然科学研究科環境デザイン学専攻 TEL076-264-6373



(a) ペースト領域全体

図 - 2 帯状領域における 未水和セメント粒子面積率

セメントペースト領域全体および縮退領域における L 関数 95%信頼区間 (b) 10 µm 縮退後の領域

せた点をコンクリート中のシミュレーションによるセ メント粒子の点過程 X_s とみなし、L 関数の 95%信頼区 間を算出した.

2. 5 骨材界面領域におけるセメント粒子分布評価

図 - 1(a) のように、コンクリート中のセメントペー ストマトリックスを骨材表面から幅 10μm の帯状領域 に区切り, 各領域における未水和セメント粒子の点密 度λおよび面積率 p を求めた. また, 骨材界面から厚さ 20μm までの範囲を遷移帯領域と仮定し、セメントペー ストマトリックス領域を遷移帯相当分だけ 10µm ずつ 縮退させた. この実際のコンクリート画像から縮退さ せた各領域内における未水和セメント粒子の L 関数Lr を求め, さらに, シミュレーションにより L 関数の 95% 信頼区間を算出した.

3. 結果および考察

表 - 2 に骨材表面から 10μm 間隔の各帯状領域におけ る未水和セメント粒子の点密度を示す. 点密度は, 骨材 粒子表面から距離 10µm の領域にて最小となるが,変動 係数の値は最大であり、統計的にばらつきの生じやす い領域であると推察される. 距離 20μm の領域にて最大 値を示し, 距離 30μm 以降の領域においては点密度に大 きな変動は認められない.

図 - 2 に骨材表面から 10μm 間隔の帯状領域における 未水和セメント粒子の面積率を示す. 骨材粒子の表面 近傍ほど未水和セメントの面積率は小さく、点密度に 比べてもその差は大きい. 界面からの距離の増大にと もない未水和セメント粒子面積率は増大していき、距 離 30µm 以上になると, 点密度と同様に面積率の変化は 小さくなることから,30μm 以降の範囲はバルクセメン トペースト領域であると判断される. セメント粒子の 平均径が 10~20μm 程度であることを考慮すると, 表 -2および図-2からはセメント粒子径程度の幅を持った 遷移帯が存在するように見える 2).

図-3 はセメントペースト領域全体および遷移帯と してセメントペーストを 10μm, および 20μm の幅で縮 退させコンクリート中の未水和セメント粒子の L 関数 L_r を、シミュレーションにより同じ点密度で同じ範囲 にセメント粒子点を発生させたときの L 関数の 95%信 頼区間と合わせて示したものである. セメントペース トマトリックス全体を対象とした場合もセメントペー ストマトリックスを局所的に縮退させた場合も, セメ ント粒子の L 関数は 95% 信頼区間内に入っている. す なわち, 初期の粒子充填という観点からみれば, 実コン クリートにて認められた界面における低いセメント粒 子充填率は, 想定される変動の範囲内ということにな る. したがって, 面積率が小さくても, 必ずしも遷移帯 の存在を示すとは限らないと判断される. つまり, 骨材 粒子近傍のセメントペーストマトリックスにおいて, 骨材は壁効果により未水和セメント粒子の分散に局所 的な影響を生じさせているように見えるが、界面付近 における未水和セメント粒子の分布の特異性は、実際 にはランダムな粒子配置の変動内であると考えられる.

(c) 20 u m 縮退後の領域

4. 結論

骨材粒子の近傍ではセメント粒子充填の不均質性は バルクセメントペーストに比べて大きくなるが、統計 的性質の強いものであり, 点過程統計量による評価に おいては、粒子のランダム分布の範囲内にとどまる.

謝辞

本研究の実施にあたり日本学術振興会科学研究費補 助金(課題番号 15K14013, 五十嵐心一)の交付を受けた.

参考文献

- Diamond, S.: Concrete Porosity Revisited, Materials Science of Concrete Special Volume, The Sidney Diamond Symposium, pp.3-23, 1998.
- Scrivener, K.et al.: Interface Science Vol.12, pp.411-421, 2004